

Comune di Barletta (BT)

Arcidiocesi di Trani - Barletta - Bisceglie

Progetto di restauro e consolidamento del
 Convento di Sant'Antonio in Barletta (BT)
 per destinazione a Museo Diocesano - Sede di Barletta

 <p>Il Progettista strutturale Ing. Michele Vitti</p>	 <p>Progetto architettonico e dir. lav. Arch. Gerardo Milillo Collaborazione Graziana Colacicco</p>	 <p>RUP Arch. Giovanni Fiore IL TECNICO A SUPPORTO DEL R.U.P. (Arch. Fiore Giovanni) ARCHITETTO Sezione A n° 611 Ordine degli Architetti, Pianificatori, Paesaggisti e Conservatori della Provincia di Foggia</p>
--	--	---

<p>Progetto Strutturale - Relazione sulla Modellazione Sismica</p>	<p>Tavola N. RS 07</p>
--	--

Dicembre 2014

Il Geologo
 Dott. Geol. Pietro Salvatore CAPOZZA

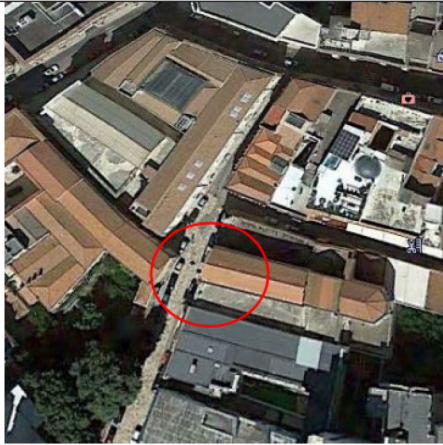



COMUNE DI BARLETTA
 Provincia di Barletta - Andria - Trani
OGGETTO

PROGETTO DI RESTAURO E CONSOLIDAMENTO DEL CONVENTO DI SANT'ANTONIO DI
 BARLETTA (BT)

STUDIO TECNICO INGEO
 "ASSOCIAZIONE TRA
 PROFESSIONI
 C.FISC: 06756730724
 P.IVA: 06756730724

Via: Vico San Pietro 9
 76121 Barletta (BT)
 Email: studio-tecnico-ingeo@libero.it



Data: Gennaio 2014

Il committente

DIOCESI

BARLETTA – ANDRIA - TRANI

Il Progettista e DD.LL. Architettonico

Arch. Gerardo MILILLO

Il Progettista e D.LL. delle Strutture

Ing. Michele VITTI

RUP

Arch. Giovanni FIORE

Il Geologo

Dott. Geol. Pietro Salvatore CAPOZZA

RELAZIONE SULLA MODELLAZIONE SISMICA

1 PREMESSA

Per valutare se un'opera strutturale è sicura bisogna far riferimento a degli *stati limite*, che possono verificarsi durante un determinato *periodo di riferimento* della stessa opera. Quindi per poter stimare l'azione sismica, che dovrà essere utilizzata nelle verifiche agli stati limite o nella progettazione, bisognerà stabilire:

- in primo luogo la *vita nominale* dell'opera, che congiuntamente alla *classe d'uso*, permette di determinare quel *periodo di riferimento*;
- una volta definito il periodo di riferimento e i diversi stati limite da considerare, una volta definite le relative *probabilità di superamento*, è possibile stabilire il *periodo di ritorno* associato a ciascun stato limite;
- a questo punto è possibile definire la ***pericolosità sismica di base*** per il sito interessato alla realizzazione dell'opera, facendo riferimento agli studi condotti sul territorio nazionale dal Gruppo di Lavoro 2004 nell'ambito della convenzione-progetto S1 DPC-INGV 2004-2006 e i cui risultati sono stati promulgati mediante l'Ordinanza del Presidente del Consiglio dei Ministri (OPCM) 3519/2006.

2 VITA NOMINALE, CLASSI D'USO E PERIODO DI RIFERIMENTO

Nelle NTC08 il periodo di riferimento, che non può essere inferiore a 35 anni, è dato dalla seguente relazione:

$$V_R = V_N \cdot C_U \quad (2.1)$$

dove:

V_R = periodo di riferimento

V_N = vita nominale

C_U = coefficiente d'uso

La vita nominale di un'opera strutturale V_N , secondo le NTC08, è definita come il numero di anni nel quale la struttura, purché soggetta alla manutenzione ordinaria, deve potere essere usata per lo scopo al quale è destinata e viene definita attraverso tre diversi valori, a seconda dell'importanza dell'opera e perciò delle esigenze di durabilità:

- $V_N \leq 10$ anni per le opere provvisorie, provvisionali e le strutture in fase costruttiva che però abbiano una durata di progetto ≥ 2 anni.
- $V_N \geq 50$ anni per le opere ordinarie, ponti, infrastrutture e dighe di dimensioni contenute o di importanza normale.

-
- $V_N \geq 100$ anni per grandi opere, ponti, infrastrutture e dighe di grandi dimensioni o di importanza strategica.

Nel caso specifico $V_N = 50$ anni.

In presenza di azioni sismiche, con riferimento alle conseguenze di una interruzione di operatività o di un eventuale collasso, le costruzioni sono suddivise in classi d'uso. Le NTC08 prevedono quattro classi d'uso a ciascuna delle quali è associato un valore del coefficiente d'uso:

Classe I: Costruzioni con presenza solo occasionale di persone, edifici agricoli. $C_U = 0.7$;

Classe II: Costruzioni il cui uso preveda normali affollamenti, senza contenuti pericolosi per l'ambiente e senza funzioni pubbliche e sociali essenziali. Industrie con attività non pericolose per l'ambiente. Ponti, opere infrastrutturali, reti viarie non ricadenti in Classe d'uso *III* o in Classe d'uso *IV*, reti ferroviarie la cui interruzione non provochi situazioni di emergenza. Dighe il cui collasso non provochi conseguenze rilevanti. $C_U = 1.0$;

Classe III: Costruzioni il cui uso preveda affollamenti significativi. Industrie con attività pericolose per l'ambiente. Reti viarie extraurbane non ricadenti in Classe d'uso *IV*. Ponti e reti ferroviarie la cui interruzione provochi situazioni di emergenza. Dighe rilevanti per le conseguenze di un loro eventuale collasso. $C_U = 1.5$;

Classe IV: Costruzioni con funzioni pubbliche o strategiche importanti, anche con riferimento alla gestione della protezione civile in caso di calamità. Industrie con attività particolarmente pericolose per l'ambiente. Reti viarie, ponti e reti ferroviarie di importanza critica per il mantenimento delle vie di comunicazione, particolarmente dopo un evento sismico. Dighe connesse al funzionamento di acquedotti e a impianti di produzione di energia elettrica. $C_U = 2.0$;

Nel caso in esame viene presa in considerazione la **classe d'uso II** a cui è associato il coefficiente d'uso $C_U = 1$.

Una volta ottenuti V_N e C_U , è possibile calcolare il periodo di riferimento V_R , che qui vale:

$$V_R = 50 * 1 = 50 \text{ anni.}$$

3 STATI LIMITE, PROBABILITÀ DI SUPERAMENTO E PERIODO DI RITORNO

Le NTC08 prendono in considerazione 4 possibili *stati limite* (SL) individuati facendo riferimento alle prestazioni della costruzione nel suo complesso, includendo gli elementi strutturali, quelli non strutturali e gli impianti: due sono *stati limite di esercizio* (SLE) e due sono *stati limite ultimi* (SLU). Uno stato limite è una condizione superata la quale l'opera non soddisfa più le esigenze per la quale è stata progettata.

Più in particolare le opere e le varie tipologie strutturali devono essere dotate di capacità di garantire le prestazioni previste per le condizioni di esercizio (sicurezza nei confronti di SLE) e di capacità di evitare crolli, perdite di equilibrio e di dissesti gravi, totali o parziali, che possano compromettere l'incolumità delle persone o comportare la perdita di beni, oppure provocare gravi danni ambientali e sociali, oppure mettere fuori servizio l'opera (sicurezza nei confronti di SLU).

Gli stati limite di esercizio sono:

- **Stato Limite di Operatività (SLO):** a seguito del terremoto la costruzione nel suo complesso, includendo gli elementi strutturali, quelli non strutturali, le apparecchiature rilevanti alla sua funzione, non deve subire danni ed interruzioni d'uso significativi;
- **Stato Limite di Danno (SLD):** a seguito del terremoto la costruzione nel suo complesso, includendo gli elementi strutturali, quelli non strutturali, le apparecchiature rilevanti alla sua funzione, subisce danni tali da non mettere a rischio gli utenti e da non compromettere significativamente la capacità di resistenza e di rigidità nei confronti delle azioni verticali ed orizzontali, mantenendosi immediatamente utilizzabile pur nell'interruzione d'uso di parte delle apparecchiature.

Gli stati limite ultimi sono:

- **Stato Limite di salvaguardia della Vita (SLV):** a seguito del terremoto la costruzione subisce rotture e crolli dei componenti non strutturali ed impiantistici e significativi danni dei componenti strutturali cui si associa una perdita significativa di rigidità nei confronti delle azioni orizzontali; la costruzione conserva invece una parte della resistenza e rigidità per azioni verticali e un margine di sicurezza nei confronti del collasso per azioni sismiche orizzontali;
- **Stato Limite di prevenzione del Collasso (SLC):** a seguito del terremoto la costruzione subisce gravi rotture e crolli dei componenti non strutturali ed impiantistici e danni molto gravi dei componenti strutturali; la costruzione conserva ancora un margine di sicurezza per azioni verticali ed un esiguo margine di sicurezza nei confronti del collasso per azioni orizzontali.

Le NTC08, in presenza di azioni sismiche, richiedono le verifiche allo SLO solo per gli elementi non strutturali e per gli impianti di strutture di classi d'uso III e IV (NTC08, punto 7.1). Lo SLO si utilizza anche come riferimento progettuale per quelle opere che devono restare operative durante e subito dopo il terremoto. Le verifiche allo SLC sono, invece, richieste solo per le costruzioni o ponti con isolamento e/o dissipazione (NTC08, punto 7.10).

Ad ogni stato limite è associata una *probabilità di superamento* P_{VR} (Tabella 3.1), ovvero la probabilità che, nel periodo di riferimento V_R , si verifichi almeno un evento sismico ($n \geq 1$) di a_g prefissata (a_g = accelerazione orizzontale massima del suolo) avente frequenza media annua di ricorrenza $\lambda = 1/T_R$ (T_R = periodo di ritorno).

Stato limite di esercizio: operatività	SLO	$P_{VR} = 81\%$
Stato limite di esercizio: danno	SLD	$P_{VR} = 63\%$
Stati limite ultimo: salvaguardia della vita	SLV	$P_{VR} = 10\%$
Stati limite ultimo: di prevenzione del collasso	SLC	$P_{VR} = 5\%$

Tabella 3.1- Stati limite e rispettive probabilità di superamento, nel periodo di riferimento V_R

Fissati V_R e P_{VR} associata ad ogni stato limite, è possibile calcolare il periodo di ritorno dell'azione sismica T_R , espresso in anni, mediante l'espressione riportata nell'**Allegato A** delle NTC08:

$$T_R = -\frac{V_R}{\ln(1 - P_{VR})} \quad (3.1)$$

Tale relazione tra P_{VR} (probabilità) e T_R (statistica) risulta biunivoca poiché utilizza la distribuzione discreta Poissoniana.

Poiché è $V_R = 50$ anni, il tempo di ritorno T_R sarà:

Stato limite di esercizio: operatività	SLO	$T_R = 30$
Stato limite di esercizio: danno	SLD	$T_R = 50$
Stati limite ultimo: salvaguardia della vita	SLV	$T_R = 475$
Stati limite ultimo: di prevenzione del collasso	SLC	$T_R = 975$

Tabella 3.2- Stati limite e rispettivi tempi di ritorno, nel periodo di riferimento V_R

4 DEFINIZIONE DELLA PERICOLOSITÀ SISMICA DI BASE

La pericolosità sismica di base, cioè le caratteristiche del moto sismico atteso al sito di interesse, nelle NTC08, per una determinata probabilità di superamento, si può ritenere definita quando vengono designati un'accelerazione orizzontale massima (a_g) ed il corrispondente spettro di risposta elastico in accelerazione, riferiti ad un suolo rigido e ad una superficie topografica orizzontale.

Per poter definire la pericolosità sismica di base le NTC08 si rifanno ad una procedura basata sui risultati disponibili anche sul sito web dell'INGV <http://esse1-gis.mi.ingv.it/>, nella sezione "Mappe interattive della pericolosità sismica".

Secondo le NTC08 le forme spettrali sono definite per 9 differenti periodi di ritorno T_R (30, 50, 72, 101, 140, 201, 475, 975 e 2475 anni) a partire dai valori dei seguenti parametri riferiti a terreno rigido orizzontale, cioè valutati in condizioni ideali di sito, definiti nell'**Allegato A** alle NTC08:

a_g = accelerazione orizzontale massima;

F_0 = valore massimo del fattore di amplificazione dello spettro in accelerazione orizzontale;

T_C^* = periodo di inizio del tratto a velocità costante dello spettro in accelerazione orizzontale.

I tre parametri si ricavano per il 50° percentile ed attribuendo a:

a_g , il valore previsto dalla pericolosità sismica S1

F_0 e T_C^* i valori ottenuti imponendo che le forme spettrali in accelerazione, velocità e spostamento previste dalle NTC08 scartino al minimo dalle corrispondenti forme spettrali previste dalla pericolosità sismica S1 (il minimo è ottenuto ai minimi quadrati, su valori normalizzati).

GeoStru software - via lungoferrovia, 89032, Bianco, (R.C.) - Tel.0964911624, Fax:0964911624, e-mail:geostru@geostru.com, web:www.geostru.com

I valori di questi parametri vengono forniti in tabella (Tabella 4.1), contenuta nell'Allegato B delle NTC08, per i 10751 punti di un reticolo di riferimento in cui è suddiviso il territorio nazionale, identificati dalle coordinate geografiche longitudine e latitudine.

ID	LON	LAT	T _R = 30			T _R = 50			T _R = 72			T _R = 101		
			a _g	F ₀	T _C [*]	a _g	F ₀	T _C [*]	a _g	F ₀	T _C [*]	a _g	F ₀	T _C [*]
13111	6.5448	45.1340	0.263	2.500	0.180	0.340	2.510	0.210	0.394	2.550	0.220	0.469	2.490	0.240
13333	6.5506	45.0850	0.264	2.490	0.180	0.341	2.510	0.210	0.395	2.550	0.220	0.469	2.490	0.240
13555	6.5564	45.0350	0.264	2.500	0.180	0.340	2.510	0.200	0.393	2.550	0.220	0.466	2.500	0.240
13777	6.5621	44.9850	0.263	2.500	0.180	0.338	2.520	0.200	0.391	2.550	0.220	0.462	2.510	0.240
12890	6.6096	45.1880	0.284	2.460	0.190	0.364	2.510	0.210	0.431	2.500	0.220	0.509	2.480	0.240
13112	6.6153	45.1390	0.286	2.460	0.190	0.366	2.510	0.210	0.433	2.500	0.220	0.511	2.480	0.240
13334	6.6210	45.0890	0.288	2.460	0.190	0.367	2.510	0.210	0.434	2.500	0.220	0.511	2.490	0.240
13556	6.6268	45.0390	0.288	2.460	0.190	0.367	2.510	0.210	0.433	2.510	0.220	0.510	2.490	0.240
13778	6.6325	44.9890	0.288	2.460	0.190	0.366	2.520	0.210	0.430	2.510	0.220	0.507	2.500	0.240
14000	6.6383	44.9390	0.286	2.470	0.190	0.363	2.520	0.210	0.426	2.520	0.220	0.502	2.500	0.240
14222	6.6439	44.8890	0.284	2.470	0.190	0.360	2.530	0.210	0.421	2.530	0.220	0.497	2.500	0.240
12891	6.6803	45.1920	0.306	2.430	0.200	0.389	2.500	0.210	0.467	2.470	0.230	0.544	2.490	0.230
10228	6.6826	45.7940	0.283	2.420	0.200	0.364	2.460	0.220	0.430	2.460	0.240	0.505	2.440	0.250
13113	6.6860	45.1430	0.309	2.430	0.200	0.391	2.510	0.210	0.470	2.470	0.230	0.546	2.490	0.230
10450	6.6885	45.7450	0.278	2.440	0.200	0.356	2.480	0.220	0.415	2.500	0.230	0.485	2.470	0.250
13335	6.6915	45.0930	0.310	2.430	0.200	0.392	2.510	0.210	0.470	2.480	0.230	0.546	2.500	0.230
10672	6.6942	45.6950	0.275	2.450	0.200	0.351	2.490	0.210	0.406	2.520	0.230	0.475	2.490	0.250
13557	6.6973	45.0430	0.311	2.440	0.200	0.392	2.520	0.210	0.469	2.480	0.230	0.545	2.500	0.230
13779	6.7029	44.9930	0.310	2.440	0.200	0.391	2.520	0.210	0.467	2.480	0.230	0.543	2.500	0.230

Tabella 4.1- Stralcio della tabella contenuta nell'Allegato B delle NTC08, che fornisce i 3 parametri di pericolosità sismica, per diversi periodi di ritorno e per ogni nodo del reticolo che viene identificato da un ID e dalle coordinate geografiche.

Qualora la pericolosità sismica del sito sul reticolo di riferimento non consideri il periodo di ritorno T_R corrispondente alla V_R e P_{V_R} fissate, il valore del generico parametro p ad esso corrispondente potrà essere ricavato per interpolazione (Figura 4.1), a partire dai dati relativi ai tempi di ritorno previsti nella pericolosità di base, utilizzando la seguente espressione dell'Allegato A alle NTC08:

$$\log(p) = \log(p_1) + \log\left(\frac{p_2}{p_1}\right) \cdot \log\left(\frac{p_2}{p_1}\right) \cdot \left[\log\left(\frac{T_{R2}}{T_{R1}}\right)\right]^{-1} \quad (4.1)$$

nella quale p è il valore del parametro di interesse (a_g, F₀, T_C^{*}) corrispondente al periodo di ritorno T_R desiderato, mentre p₁, p₂ è il valore di tale parametro corrispondente al periodo di ritorno T_{R1}, T_{R2}.

Per un qualunque punto del territorio non ricadente nei nodi del reticolo di riferimento, i valori dei parametri p possono essere calcolati come media pesata dei valori assunti da tali parametri nei quattro vertici della maglia elementare del reticolo di riferimento contenente il punto in esame, utilizzando l'espressione dell'Allegato A alle NTC08:

$$p = \frac{\sum_{i=1}^4 p_i}{\sum_{i=1}^4 \frac{1}{d_i}} \quad (4.2)$$

nella quale p è il valore del parametro di interesse (a_g, F_o, T_C^*) corrispondente al punto considerato, p_i è il valore di tale parametro nell' i -esimo vertice della maglia elementare contenente il punto in esame e d_i è la distanza del punto in esame dall' i -esimo vertice della suddetta maglia.

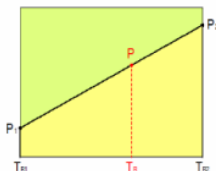


Figura 4.1 - Interpolazione dei periodi di ritorno, per ottenere i parametri di pericolosità sismica, in accordo alla procedura delle NTC08.

La procedura per interpolare le coordinate geografiche è schematizzata nella Figura 4.2

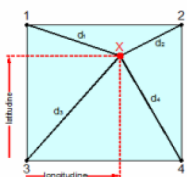


Figura 4.2 - Interpolazione delle coordinate geografiche, per ottenere i parametri di pericolosità sismica, in accordo alla procedura delle NTC08.

Pertanto per poter procedere all'interpolazione delle coordinate geografiche, in accordo alla procedura delle NTC08, bisogna calcolare le distanze che intercorrono tra i 4 punti del reticolo e il punto di interesse. Questo calcolo può essere eseguito approssimativamente utilizzando le formule della trigonometria sferica, che danno la distanza geodetica tra due punti, di cui siano note le coordinate geografiche. Utilizzando quindi il teorema di Eulero, la distanza d tra due punti, di cui siano note latitudine e longitudine, espresse però in radianti, si ottiene dall'espressione seguente:

$$d = R \cdot \arccos[\sin(\text{lat}\beta) \cdot \sin(\text{lat}\alpha) + \cos(\text{lat}\beta) \cdot \cos(\text{lat}\alpha) \cdot \cos(\text{lon}\alpha - \text{lon}\beta)] \quad (4.3)$$

dove $R = 6371$ è il raggio medio terrestre in km, mentre $\text{lat}\alpha$, $\text{lon}\alpha$, $\text{lat}\beta$ e $\text{lon}\beta$ sono la latitudine e la longitudine, espresse in radianti, di due punti A e B di cui si vuole calcolare la distanza.

La formula di interpolazione sopra proposta, semplice da usare, presenta però l'inconveniente di condurre a valori di pericolosità lievemente diversi per punti affacciati ma appartenenti a maglie contigue. La modestia delle differenze (scostamenti in termini di PGA dell'ordine di $\pm 0,01g$ ossia della precisione dei dati) a fronte della semplicità d'uso, rende tale stato di cose assolutamente accettabile.

Qualora si vogliano rappresentazioni continue della funzione interpolata, si dovrà ricorrere a metodi di interpolazione più complessi, ad esempio i polinomi di Lagrange.

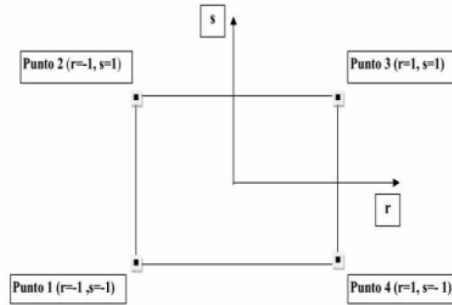


Figura 4.3 - Applicazione dell'interpolazione bilineare.

Definiti i 4 vertici di una generica maglia i polinomi di Lagrange sono così determinati:

$$h_1 = (1-r) \cdot (1-s)/4 \quad (4.4)$$

$$h_2 = (1-r) \cdot (1+s)/4 \quad (4.5)$$

$$h_3 = (1+r) \cdot (1+s)/4 \quad (4.6)$$

$$h_4 = (1+r) \cdot (1-s)/4 \quad (4.7)$$

Tra le coordinate x, y di un punto generico e le coordinate r, s dello stesso punto valgono le seguenti relazioni:

$$4x = \sum_{i=1}^4 h_i \cdot x_i = [(1-r) \cdot (1-s) \cdot x_1 + (1-r) \cdot (1+s) \cdot x_2 + (1+r) \cdot (1+s) \cdot x_3 + (1+r) \cdot (1-s) \cdot x_4] \quad (4.8)$$

$$4y = \sum_{i=1}^4 h_i \cdot y_i = [(1-r) \cdot (1-s) \cdot y_1 + (1-r) \cdot (1+s) \cdot y_2 + (1+r) \cdot (1+s) \cdot y_3 + (1+r) \cdot (1-s) \cdot y_4] \quad (4.9)$$

La soluzione del sistema di equazioni non lineari è ottenuta iterativamente e, tramite i valori di r ed s , si determinano i parametri a_g, F_0, T_C^* dall'equazione:

$$4p = \sum_{i=1}^4 h_i \cdot p_i = [(1-r) \cdot (1-s) \cdot p_1 + (1-r) \cdot (1+s) \cdot p_2 + (1+r) \cdot (1+s) \cdot p_3 + (1+r) \cdot (1-s) \cdot p_4] \quad (4.10)$$

Dove p rappresenta il parametro cercato.

5 Pericolosità sismica di sito

Il moto generato da un terremoto in un sito dipende dalle particolari condizioni locali, cioè dalle caratteristiche topografiche e stratigrafiche dei depositi di terreno e degli ammassi rocciosi e dalle proprietà fisiche e meccaniche dei materiali che li costituiscono. Per la singola opera o per il singolo sistema geotecnico la risposta sismica locale consente di definire le modifiche che un segnale sismico subisce, a causa dei fattori anzidetti, rispetto a quello di un sito di riferimento rigido con superficie topografica orizzontale (sottosuolo di categoria A, definito al § 3.2.2).

5.1 Coefficienti sismici

I coefficienti sismici orizzontale K_h e verticale K_v dipendono del punto in cui si trova il sito oggetto di analisi e del tipo di opera da calcolare. Il parametro di entrata per il calcolo è il tempo di ritorno (T_R) dell'evento sismico che è valutato come segue:

$$T_R = -\frac{V_R}{\ln(1 - P_{VR})} \quad (5.1)$$

Con V_R vita di riferimento della costruzione e P_{VR} probabilità di superamento, nella vita di riferimento, associata allo stato limite considerato. La vita di riferimento dipende dalla vita nominale della costruzione e dalla classe d'uso della costruzione (in linea con quanto previsto al punto 2.4.3 delle NTC). In ogni caso V_R non può essere inferiore a 35 anni.

5.2 Stabilità dei pendii e fondazioni

Nel caso di stabilità dei pendii i coefficienti K_h e K_v sono così determinati:

$$K_h = \beta_s \cdot \left(\frac{a_{max}}{g} \right) \quad (5.2)$$

$$K_v = \pm 0.5 \cdot K_h \quad (5.3)$$

Con

β_s coefficiente di riduzione dell'accelerazione massima attesa al sito;

a_{max} accelerazione orizzontale massima attesa al sito;

g accelerazione di gravità.

I valori di β_s sono riportati nella tabella 5.1.

	Categoria di sottosuolo	
	A	B, C, D, E
	β_s	β_s
$0.2 < a_g(g) \leq 0.4$	0.30	0.28
$0.1 < a_g(g) \leq 0.2$	0.27	0.24
$a_g(g) \leq 0.1$	0.20	0.20

Tabella 5.1- Coefficienti di riduzione dell'accelerazione massima attesa al sito.

Tutti i fattori presenti nelle precedenti formule dipendono dall'accelerazione massima attesa al sito di riferimento rigido e dalle caratteristiche geomorfologiche del territorio.

$$a_{\max} = S_S \cdot S_T \cdot a_g \quad (5.4)$$

S_S (effetto di amplificazione stratigrafica) ($0.90 \leq S_S \leq 1.80$) è funzione di F_0 (Fattore massimo di amplificazione dello spettro in accelerazione orizzontale) e della categoria di suolo (A, B, C, D, E).

S_T (effetto di amplificazione topografica), varia con il variare delle quattro categorie topografiche:

$$\mathbf{T1: } S_T = 1.0; \mathbf{T2: } S_T = 1.20; \mathbf{T3: } S_T = 1.2; \mathbf{T4: } S_T = 1.40.$$

5.3 Muri di sostegno

Per i muri di sostegno pendii i coefficienti K_h e K_v sono così determinati:

$$K_h = \beta_m \cdot \left(\frac{a_{\max}}{g} \right) \quad (5.5)$$

$$K_v = \pm 0.5 \cdot K_h \quad (5.6)$$

Con:

β_m coefficiente di riduzione dell'accelerazione massima attesa al sito, per i muri che non siano in grado di subire spostamenti relativi rispetto al terreno assume valore unitario altrimenti assume i valori riportati nella Tabella 5.2.

	Categoria di sottosuolo	
	A	B, C, D, E
	β_m	B_m
$0.2 < a_g(g) \leq 0.4$	0.31	0.31
$0.1 < a_g(g) \leq 0.2$	0.29	0.24
$a_g(g) \leq 0.1$	0.20	0.18

Tabella 5.2 - Coefficienti di riduzione dell'accelerazione massima attesa al sito.

a_{max} accelerazione orizzontale massima attesa al sito;
 g accelerazione di gravità.

Tutti i fattori presenti nelle precedenti formule dipendono dall'accelerazione massima attesa sul sito di riferimento rigido e dalle caratteristiche geomorfologiche del territorio.

$$a_{max} = S_S \cdot S_T \cdot a_g \quad (5.7)$$

S è il coefficiente comprendente l'effetto di amplificazione stratigrafica S_S e di amplificazione topografica S_T .

a_g accelerazione orizzontale massima attesa su sito di riferimento rigido.

5.4 Paratie

In mancanza di studi specifici, a_h (accelerazione orizzontale) può essere legata all'accelerazione di picco a_{max} attesa nel volume di terreno significativo per l'opera mediante la relazione:

$$a_h = K_h \cdot g = \alpha \cdot \beta \cdot a_{max} \quad (5.8)$$

dove:

g è l'accelerazione di gravità;

K_h è il coefficiente sismico in direzione orizzontale;

$\alpha \leq 1$ è un coefficiente che tiene conto della deformabilità dei terreni interagenti con l'opera. Può essere ricavato a partire dall'altezza complessiva H della paratia e dalla categoria di sottosuolo mediante il diagramma in Figura 5.1:

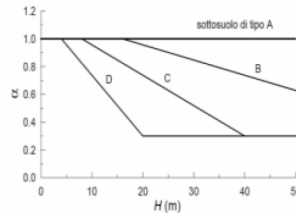


Figura 5.1 - Diagramma per la valutazione del coefficiente di deformabilità α .

Per la valutazione della spinta nelle condizioni di equilibrio limite passivo deve porsi $\alpha = 1$.

$\beta \leq 1$ è un coefficiente funzione della capacità dell'opera di subire spostamenti senza cadute di resistenza. Il valore del coefficiente β può essere ricavato dal diagramma riportato in Figura 5.2, in funzione del massimo spostamento u_s che l'opera può tollerare senza riduzioni di resistenza.

Per $u_s = 0$ si ha $\beta = 1$; $u_s \leq 0.005 \cdot H$

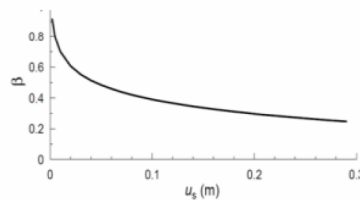


Figura 5.2 - Diagramma per la valutazione del coefficiente di spostamento β .

L'accelerazione di picco a_{\max} è valutata mediante un'analisi di risposta sismica locale, ovvero come

$$a_{\max} = S_S \cdot S_T \cdot a_g \quad (5.9)$$

dove:

S è il coefficiente che comprende l'effetto dell'amplificazione stratigrafica (S_S) e dell'amplificazione topografica (S_T), di cui al § 3.2.3.2;

a_g è l'accelerazione orizzontale massima attesa su sito di riferimento rigido.

Se $\alpha \cdot \beta \leq 0.2$ deve assumersi $K_h = 0.2 \cdot a_{\max}/g$

PERICOLOSITÀ SISMICA DI BASE

Data: 01/03/2015



Vita nominale (Vn):	50 [anni]
Classe d'uso:	II
Coefficiente d'uso (Cu):	1
Periodo di riferimento (Vr):	50 [anni]
Periodo di ritorno (Tr) SLO:	30 [anni]
Periodo di ritorno (Tr) SLD:	50 [anni]
Periodo di ritorno (Tr) SLV:	475 [anni]
Periodo di ritorno (Tr) SLC:	975 [anni]

Tipo di interpolazione: Media ponderata

GeoStru software - via lungoferrovia, 89032, Bianco, (R.C.) - Tel.0964911624, Fax:0964911624,
e-mail:geostru@geostru.com, web:www.geostru.com

Coordinate geografiche del punto

Latitudine (WGS84): 41,3195600 [°]

Longitudine (WGS84): 16,2837600 [°]

Latitudine (ED50): 41,3205300 [°]

Longitudine (ED50): 16,2845900 [°]

Coordinate dei punti della maglia elementare del reticolo di riferimento che contiene il sito e valori della distanza rispetto al punto in esame

Punto	ID	Latitudine (ED50) [°]	Longitudine (ED50) [°]	Distanza [m]
1	31010	41,302330	16,219210	5823,60
2	31011	41,300710	16,285710	2205,86
3	30789	41,350690	16,287880	3364,88
4	30788	41,352300	16,221350	6352,72

Parametri di pericolosità sismica per TR diversi da quelli previsti nelle NTC08, per i nodi della maglia elementare del reticolo di riferimento

Punto 1

Stato limite	Tr [anni]	ag [g]	F0 [-]	Tc* [s]
SLO	30	0,039	2,530	0,270
SLD	50	0,050	2,568	0,293
	72	0,060	2,533	0,323
	101	0,071	2,526	0,338
	140	0,082	2,553	0,355
	201	0,101	2,505	0,363

SLV	475	0,150	2,568	0,364
SLC	975	0,210	2,445	0,407
	2475	0,323	2,356	0,421

Punto 2

Stato limite	Tr [anni]	ag [g]	F0 [-]	Tc* [s]
SLO	30	0,038	2,526	0,267
SLD	50	0,048	2,562	0,293
	72	0,059	2,519	0,321
	101	0,070	2,523	0,334
	140	0,080	2,547	0,350
	201	0,098	2,495	0,362
SLV	475	0,148	2,566	0,361
SLC	975	0,208	2,438	0,403
	2475	0,323	2,343	0,418

Punto 3

Stato limite	Tr [anni]	ag [g]	F0 [-]	Tc* [s]
SLO	30	0,037	2,493	0,267
SLD	50	0,047	2,557	0,295
	72	0,056	2,552	0,325
	101	0,065	2,593	0,339
	140	0,075	2,594	0,356
	201	0,090	2,566	0,365
SLV	475	0,129	2,578	0,410
SLC	975	0,175	2,541	0,421
	2475	0,259	2,465	0,428

GeoStru software - via lungoferrovia, 89032, Bianco, (R.C.) - Tel.0964911624, Fax:0964911624, e-mail:geostru@geostru.com, web:www.geostru.com

Punto 4

Stato limite	Tr [anni]	ag [g]	F0 [-]	Tc* [s]
SLO	30	0,038	2,503	0,272
SLD	50	0,049	2,563	0,295
	72	0,058	2,569	0,328
	101	0,067	2,596	0,342
	140	0,078	2,577	0,358
	201	0,093	2,580	0,366
SLV	475	0,132	2,580	0,413
SLC	975	0,177	2,547	0,424
	2475	0,261	2,476	0,431

Punto d'indagine

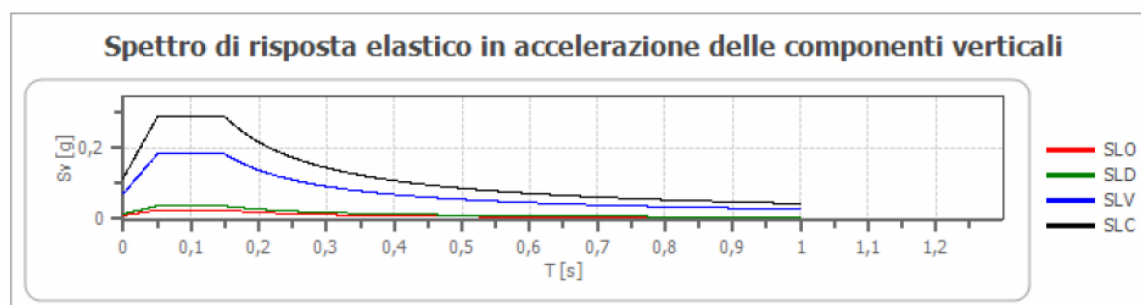
Stato limite	Tr [anni]	ag [g]	F0 [-]	Tc* [s]
SLO	30	0,038	2,514	0,268
SLD	50	0,048	2,562	0,294
SLV	475	0,141	2,571	0,383
SLC	975	0,195	2,483	0,412

SLO	1,0	0,038	2,514	0,268	1,500	1,620	1,000	1,500	1,000	0,145	0,434	1,751	0,057	0,142
SLD	1,0	0,048	2,562	0,294	1,500	1,570	1,000	1,500	1,000	0,154	0,461	1,793	0,072	0,185
SLV	1,0	0,141	2,571	0,383	1,480	1,440	1,000	1,480	1,000	0,184	0,551	2,163	0,208	0,536
SLC	1,0	0,195	2,483	0,412	1,410	1,410	1,000	1,410	1,000	0,193	0,580	2,379	0,275	0,682

Spettro di risposta elastico in accelerazione delle componenti verticali

Coefficiente di smorzamento viscoso ξ 5 %

Fattore di alterazione dello spettro elastico $\eta = [10/(5+\xi)]^{(1/2)}$: 1,000



	cu	ag [g]	F0 [-]	Tc* [s]	Ss [-]	Cc [-]	St [-]	S [-]	η [-]	TB [s]	TC [s]	TD [s]	Se(0) [g]	Se(TB) [g]
SLO	1,0	0,038	2,514	0,268	1	1,620	1,000	1,000	1,000	0,050	0,150	1,000	0,010	0,025
SLD	1,0	0,048	2,562	0,294	1	1,570	1,000	1,000	1,000	0,050	0,150	1,000	0,014	0,037
SLV	1,0	0,141	2,571	0,383	1	1,440	1,000	1,000	1,000	0,050	0,150	1,000	0,071	0,183
SLC	1,0	0,195	2,483	0,412	1	1,410	1,000	1,000	1,000	0,050	0,150	1,000	0,116	0,288

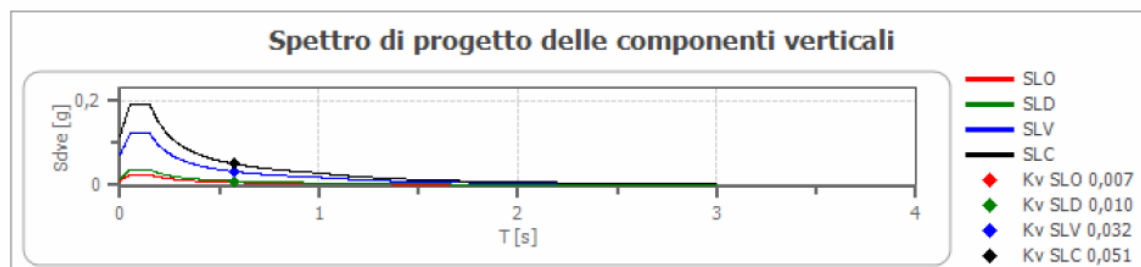
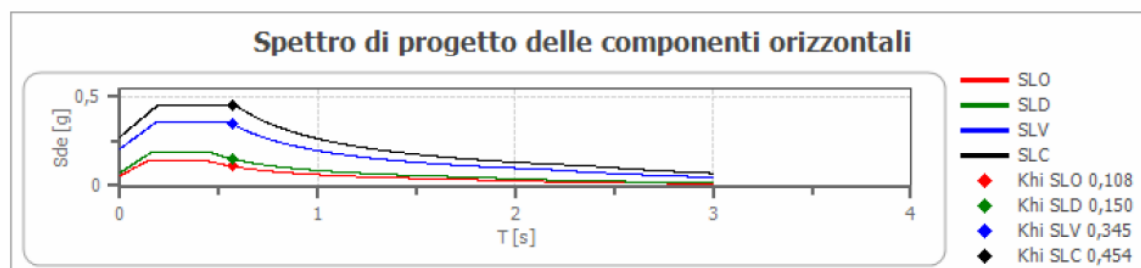
Spettro di progetto

Fattore di struttura spettro orizzontale q: 1,50

Fattore di struttura spettro verticale q: 1,50

Periodo fondamentale T: 0,57 [s]

	SLO	SLD	SLV	SLC
khi = Sde(T) Orizzontale [g]	0,108	0,150	0,345	0,454
kv = Sdve(T) Verticale [g]	0,007	0,010	0,032	0,051



	cu	ag [g]	F0 [-]	Tc* [s]	Ss [-]	Cc [-]	St [-]	S [-]	q [-]	TB [s]	TC [s]	TD [s]	Sd(0) [g]	Sd(TB) [g]
SLO orizzontale	1,0	0,038	2,514	0,268	1,500	1,620	1,000	1,500	1,000	0,145	0,434	1,751	0,057	0,142
SLO verticale	1,0	0,038	2,514	0,268	1,500	1,620	1,000	1,000	1,000	0,050	0,150	1,000	0,010	0,025
SLD orizzontale	1,0	0,048	2,562	0,294	1,500	1,570	1,000	1,500	1,000	0,154	0,461	1,793	0,072	0,185
SLD verticale	1,0	0,048	2,562	0,294	1,500	1,570	1,000	1,000	1,000	0,050	0,150	1,000	0,014	0,037
SLV orizzontale	1,0	0,141	2,571	0,383	1,480	1,440	1,000	1,480	1,500	0,184	0,551	2,163	0,208	0,357

ntale														
SLV verticale	1,0	0,141	2,571	0,383	1,480	1,440	1,000	1,000	1,500	0,050	0,150	1,000	0,071	0,122
SLC orizzontale	1,0	0,195	2,483	0,412	1,410	1,410	1,000	1,410	1,500	0,193	0,580	2,379	0,275	0,454
SLC verticale	1,0	0,195	2,483	0,412	1,410	1,410	1,000	1,000	1,500	0,050	0,150	1,000	0,116	0,192

Indice

Pericolosità sismica di base.....	13
Parametri di pericolosità sismica.....	15
Pericolosità sismica di sito.....	17
Coefficienti sismici.....	17
Spettro di risposta elastico in accelerazione delle componenti orizzontali.....	17
Spettro di risposta elastico in accelerazione delle componenti verticali.....	17
Spettro di progetto.....	18
Indice.....	20